

I-299

直列2矩形柱の空力特性（断面辺長比の影響）

金沢大学工学部 正員 岡島 厚

1. まえがき：矩形柱まわりの流れでは、断面形状によって、はく離流れ、周期的再付着、定常的再付着などの流れのパターン変化が生じ、それに伴い流体力は大きく変化する⁽¹⁾⁽²⁾。さらに物体が流れに複数個配置された場合、単独物体まわりの流れに比較して一層複雑となる⁽³⁾。特に、矩形柱の後流渦形成領域が変化すること⁽⁴⁾から、直列配置の場合、その断面辺長比の相違によって、相互干渉の様子は異なるものと予想される。そこで、本研究では、断面辺長比を $B/H=0.2\sim 5$ の広い範囲に変え、さらにはすきま間隔も詳細に変え、2矩形柱上の静圧分布、後流のストローハル数、そして抗力係数の変化を調べ、流体力に及ぼす相互干渉の効果を明らかにする。

2. 実験装置と実験方法：実験は金沢大学工学部土木建設工学科の風洞装置を使用した。断面 $0.8m \times 0.8m \times$ 長さ $4m$ の測定部に2個の同一断面形状の模型を、図1のように流れに直列に配置する。それぞれの模型には表面に $\phi 0.5mm$ の静圧孔を12~20個設け、ビニール管を経て、切り替えバルブを介し、微圧変換器によって模型表面上の静圧分布を測定した。後流渦の周波数はそれぞれの模型後流に挿入した熱線流速計プローブによって検出し、シグナルプロセッサにより周波数解析した。模型は $H=4$ （または $2,3$ ）cmで断面辺長比 $B/H=0.2\sim 5$ の合計10種類を前・後縁が直角となるように充分留意してアクリル材で製作した。2つの同一模型のすきま間隔 S は $S/H=0\sim 5$ の範囲で変え、本実験のレイノルズ数は $Re=3\times 10^4$ および 4×10^4 で、このときの乱れの強さは0.25%以下である⁽⁵⁾。

3. 実験結果：実験は断面辺長比 $B/H=0.2\sim 5$ の10種類の模型について行ったが、そのうち $B/H=0.2, 0.4, 0.6, 1, 2, 5$ の矩形柱を例にして以下説明する。

(a) $B/H=0.2$ 断面柱：図2,3には、すきま間隔 S/H を変えた時の上流側模型の抗力係数 C_{D1} 、下流側模型の抗力係数 C_{D2} と後流のストローハル数 St を示す。いずれも $S/H=0.8$ 付近で変化が見られ、 C_{D2} は $S/H=0.8$ 付近で最小となり、その後は増大し、 $S/H \geq 2.2$ で推力(負)から抵抗(正)に変わる。また図4には、上流側模型の背压係数 C_{Pb1} 、下流側模型のよどみ圧係数 C_{Pr2} と背压係数 C_{Pb2} を示す。 C_{D2} が負の $S/H < 2.2$ では、 C_{Pb1} と C_{Pr2} がほぼ一致し、2つの模型の間は死水域で繋っている。これらの変化は、平野らの平板による結果⁽⁶⁾と一致している。ただし、この場合 B/H が小さいため C_{D1}, C_{D2}, St いずれも連続的に変化している。一方、 $B/H=0.4$ 断面柱から C_{D1}, C_{D2} の変化にステップ状に急変する S/H の臨界値 $(S/H)_{cr}=3.25$ が現れる。

(b) $B/H=0.6$ 断面柱： $B/H=0.6$ 断面柱の C_{D1}, C_{D2} と St 数の変化を図5, 6に示すが、 S/H の臨界値 $(S/H)_{cr}=3.4$ で C_{D1}, C_{D2} 値はステップ状に大きく変わるが、 St 値は連続的に変化する。

(c) $B/H=1$ 断面柱：図7,8に C_{D1}, C_{D2} と St 数の変化を示す。すき間の極端に狭い場合($S/H=0$)、 C_D 値や St 数値は対応する $B/H=2$ 断面柱の値から急激に変化し、さらに $(S/H)_{cr}=2.7$ を境にして、 C_{D1}, C_{D2} は $B/H=0.8, 1.67$ 断面柱（それぞれ $(S/H)_{cr}=3.3, 2.33$ ）と同様に、ステップ状に大きく急変している。 $S/H=2.7$ 近傍で、2種類の St 数値がある。 $B/H=0.4, 0.8$ 断面柱同様、双安定な2種類の流れパターンが入れ替わるためである。

(d) $B/H=2$ 断面柱：図9,10に C_{D1}, C_{D2} と St 数の変化を示す。この場合 $S/H=1.8$ を境にして、 C_{D2} がステップ状に急変するが、 $B/H=0.4\sim 1.67$ 断面柱⁽⁵⁾に比べ、変化幅は小さく、その後連続的に漸増する。しかし、 C_{D1} には、もはや不連続性が見られない。図10の St 数変化は、 $S/H=0$ では $B/H=4$ 断面柱の St 値0.14を示す⁽²⁾が、 $S/H < 1.8$ の後流のスペクトル密度分布は、広帯域な分布形状を呈し、 $B/H=5\sim 7$ の断面柱後流に類似している。そして、臨界値 $(S/H)_{cr}=1.8$ を境として单一の鋭いピークの卓越 St 数となる。

(e) $B/H=5$ 断面柱：図11に C_{D1}, C_{D2} の変化を示すが、あまり大きな変化はみられない。 C_{D1} はほぼ一定値で、 C_{D2} は $S/H=0$ 附近でおよそ $C_{D2}=0$ であり、 S/H の増加にともない連続的に漸増する。 St 数値は $S/H=0$ で単独 $B/H=10$ 断面柱の St 数値を示し、 $S/H < 1$ では卓越した St 数成分が認められない。 $S/H > 1$ では、单一の卓越 St 数

0.108となるが、単独 $B/H=5$ 断面柱の卓越St数値0.166とは相違している。この場合、直列配置により周期的再付着流れの方になっている。

4.まとめ： $B/H=0.2\sim 5$ の直列2矩形柱において、 C_D やSt数が臨界的に変化するすき間値(S/H_c)を図12に示す L/H の値にして、まとめて示す。 $B/H=0.4\sim 2$ 断面柱では、 $L/H=3.9$ でほぼ一定で、 $B/H=0.6$ 断面柱の C_D 、St数の空力特性に特異性は見られない。極端に B/H の小さい0.2断面柱や流れの再付着の生ずる $B/H\geq 2.5$ 断面柱などでは3.9と異なってくる。

参考文献

- (1)中口・ほか2名、航空誌16-168(1968),1
- (2)岡島・ほか2名、機論49-447B(昭58),2551
- (3)岡島・ほか2名、機論51-472B(昭61),3877
- (4)溝田・岡島、土木論312(1981),39
- (5)岡島・ほか2名、機講概集No.867-1(昭61),17
- (6)平野・ほか2名、機論49-447B(昭58),2363

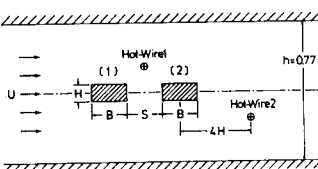
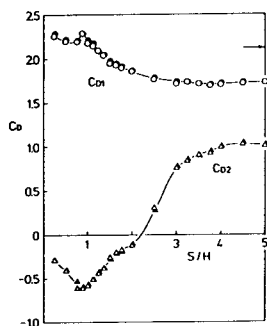
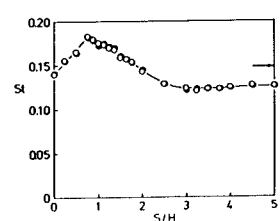
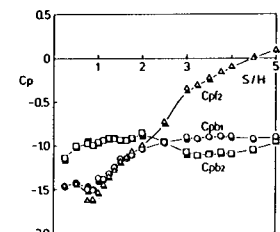
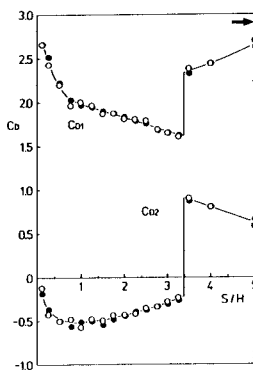
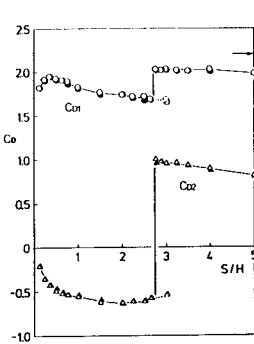
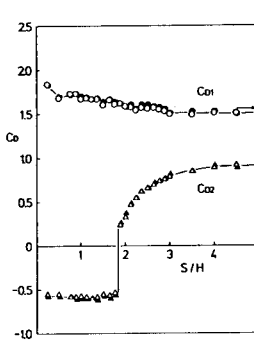
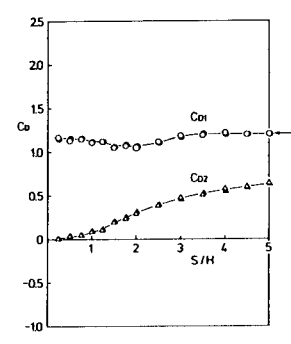
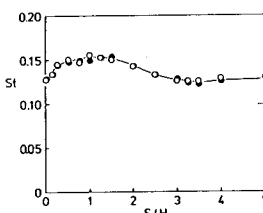
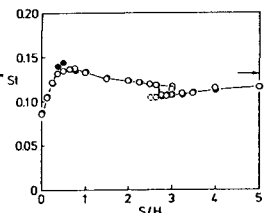
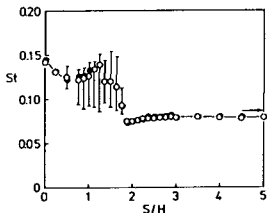
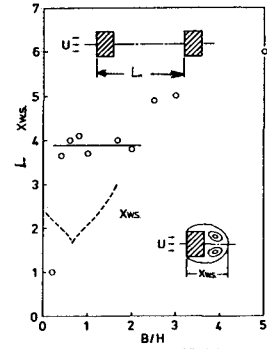


図1.模型配置概略図

図2.直列 $B/H=0.2$ 断面柱の C_D 、○△: $Re=3\times 10^4$, ●▲: $Re=4\times 10^4$
→:単独柱の C_D 値図3.直列 $B/H=0.2$ 断面柱のSt数、○: $Re=3\times 10^4$, ●: $Re=4\times 10^4$
→:単独柱のSt値図4.直列 $B/H=0.2$ 断面柱の C_p 、○△□: $Re=3\times 10^4$, ●▲■: $Re=4\times 10^4$
→:単独柱の C_p 値図5.直列 $B/H=0.6$ 断面柱の C_D 、○△: $Re=3\times 10^4$, ●▲: $Re=4\times 10^4$
→:単独柱の C_D 値図7.直列 $B/H=1$ 断面柱の C_D 、○△: $Re=3\times 10^4$, ●▲: $Re=4\times 10^4$
→:単独柱の C_D 値図9.直列 $B/H=2$ 断面柱の C_D 、○△: $Re=3\times 10^4$, ●▲: $Re=4\times 10^4$
→:単独柱の C_D 値図11.直列 $B/H=5$ 断面柱の C_D 、○△: $Re=3\times 10^4$, ●▲: $Re=4\times 10^4$
←:単独柱の C_D 値図6.直列 $B/H=0.6$ 断面柱のSt数、○: $Re=3\times 10^4$, ●: $Re=4\times 10^4$
→:単独柱のSt値図8.直列 $B/H=1$ 断面柱のSt数、○: $Re=3\times 10^4$, ●: $Re=4\times 10^4$
→:単独柱のSt値図10.直列 $B/H=2$ 断面柱のSt数、○: $Re=3\times 10^4$, ●: $Re=4\times 10^4$
→:単独柱のSt値図12. L/H と B/H の関係
 $L/H=(S/H)_cr+B/H$